

УДК 532.51

## РАСЧЕТ ЛИНЕЙНОЙ УСТОЙЧИВОСТИ ТЕЧЕНИЯ ЖИДКОСТИ В ПЛОСКОМ КАНАЛЕ С ВОЛНИСТЫМИ ПОПЕРЕК ПОТОКА СТЕНКАМИ

© 2023 г. Ю. Я. Трифонов

Институт теплофизики им. С. С. Кутателадзе СО РАН, Новосибирск, Россия

E-mail: trifonov@itp.nsc.ru

Поступила в редакцию 07.03.2023 г.

После доработки 16.04.2023 г.

Принята к публикации 06.06.2023 г.

Используя полные уравнения Навье–Стокса, рассмотрена линейная устойчивость плоского течения Пуазеля в канале с гофрированной нижней стенкой. Стенка гофрирована поперек потока, и основное течение имеет одну компоненту скорости. Возмущения полей скорости и давления являются трехмерными с двумя волновыми числами. Численно решается обобщенная задача на собственные значения. Найдено, что критическое число Рейнольдса, выше которого появляются нарастающие во времени возмущения, сложным образом зависит от безразмерной амплитуды и периода гофрирования. Величина отношения амплитуды и периода гофрирования разделяет область безразмерной амплитуды гофрирования на две, где зависимости критического числа Рейнольдса от параметров гофрирования качественно различны.

**Ключевые слова:** вязкое течение, гофрированные и волнистые стенки, устойчивость, ламинарно-турбулентный переход

**DOI:** 10.31857/S102470842360015X, **EDN:** GEZSYN

Течение в каналах с гофрированными стенками встречается во многих приложениях [1, 2] – компактные теплообменники и биореакторы, устройства охлаждения компонентов микроэлектроники, химические реакторы, топливные элементы, оксигенаторы крови и т.д. [3–5]. Диапазон возможных приложений затрагивает многие области современной техники и простирается от аэрокосмической отрасли до биологии [6]. Изменение волнистости стенок является одним из методов управления различными аспектами одно- и двухфазного течения в каналах. Например, риблеты (основной поток не пересекает гребни и впадины волнистой стенки) используются в целях снижения сопротивления и затягивания перехода к турбулентности при обтекании крыльев [7, 8]. Волновая поверхность раздела фаз, формируемая мелкой текстурой структурированных насадок при растекании по ней жидкой пленки, образует структуры для течения паровой фазы [9–11]. За их счет может происходить интенсивное перемешивание пара, что, в конечном итоге, определяет эффективность разделения нефти на фракции или воздуха на компоненты в дистилляционных колоннах, заполненных такими насадками [12]. Отметим, что в этом случае основной поток пересекает гребни и впадины волнистой стенки. Хорошее перемешивание и переход к турбулентности при малых числа Рейнольдса актуальны, также, для задач охлаждения в микроустройствах [3–5].

Проблема перехода к турбулентности является одной из фундаментальных задач современной механики [13]. Стационарное ламинарное течение в каналах с синусоидальными стенками (основной поток пересекает гребни и впадины стенки) численно исследовано в работе [3]. При большой амплитуде гофрирования появляются застойные зоны. Предсказанные отрывные структуры экспериментально наблюдались в работе [4]. Для аналогичной конфигурации стенок канала, в работах [14–16] продемонстрировано существование нестационарных колебаний отрывных зон. В дальнейшем в работах [17–19] продемонстрирован переход к турбулентности через появление апериодических колебаний отрывных зон. При течении в канале, когда основной поток не пересекает гребни и впадины волнистой стенки, задача устойчивости рассматривалась в работах [7, 8, 20, 21]. Для второго случая (основной поток пересекает гребни волн) устойчивость рассчитывалась в работах [22–24]. Анализ проводился в рамках нестационарного расчета,

что предполагает “перебор” начальных данных и, как следствие, ограничивался вариацией параметров задачи в небольших диапазонах. В настоящей работе, решая уравнения Навье–Стокса, находится основное решение и производится линеаризация исходных нелинейных уравнений около этого решения. Затем, решая обобщенную задачу на собственные значения, анализируется весь возможный спектр возмущений. Это обеспечивает новизну и дает возможность для исследования устойчивости в широком диапазоне параметров задачи.

Математический и численный аппарат исследования был развит при рассмотрении двухфазного течения по гладким и волнистым поверхностям [25, 26], и адаптирован к задачам данной работы. Меняются граничные условия на верхней стенке, и отсутствует поверхность раздела.

Целью настоящей работы является анализ линейной устойчивости плоского течения Пуазейля в канале с гофрированной нижней стенкой. Стенка гофрирована поперек потока и основное течение в таком канале имеет одну компоненту скорости. Возмущения полей скорости и давления являются трехмерными с двумя волновыми числами. Проанализированы нейтральные кривые и наиболее опасные линейные возмущения при широких диапазонах изменений параметров гофрирования и числа Рейнольдса. В зависимости от параметров гофрирования, рассчитано критическое число Рейнольдса, выше которого основное течение неустойчиво и существуют нарастающие во времени возмущения.

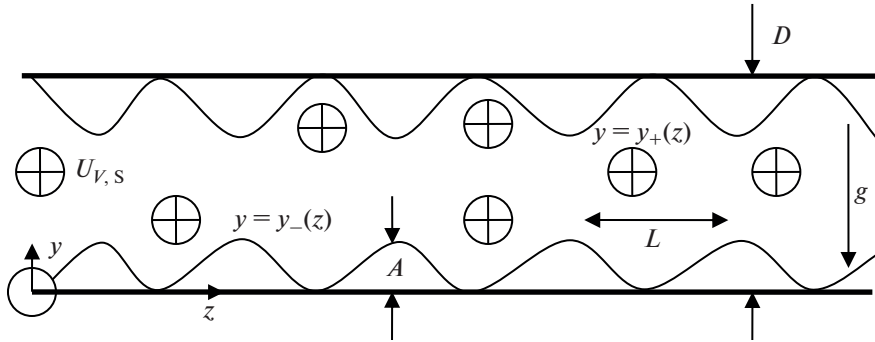
## 1. ОСНОВНЫЕ УРАВНЕНИЯ

Течение жидкости между двумя горизонтальными гофрированными (рис. 1) поверхностями, неограниченными в  $x$ - и  $z$ -направлениях, описывается системой уравнений Навье–Стокса с соответствующими граничными условиями

$$\begin{aligned} \frac{\partial u}{\partial t} + u \frac{\partial u}{\partial x} + v \frac{\partial u}{\partial y} + w \frac{\partial u}{\partial z} &= -\frac{\partial P}{\partial x} + \frac{1}{\varepsilon \operatorname{Re}} \left( \frac{\partial^2 u}{\partial y^2} + \varepsilon^2 \frac{\partial^2 u}{\partial x^2} + \varepsilon^2 \frac{\partial^2 u}{\partial z^2} \right) \\ \varepsilon^2 \left( \frac{\partial v}{\partial t} + u \frac{\partial v}{\partial x} + v \frac{\partial v}{\partial y} + w \frac{\partial v}{\partial z} \right) &= -\frac{\partial P}{\partial y} + \frac{1}{\varepsilon \operatorname{Re}} \left( \frac{\partial^2 v}{\partial y^2} + \varepsilon^2 \frac{\partial^2 v}{\partial x^2} + \varepsilon^2 \frac{\partial^2 v}{\partial z^2} \right) \\ \frac{\partial w}{\partial t} + u \frac{\partial w}{\partial x} + v \frac{\partial w}{\partial y} + w \frac{\partial w}{\partial z} &= -\frac{\partial P}{\partial z} + \frac{1}{\varepsilon \operatorname{Re}} \left( \frac{\partial^2 w}{\partial y^2} + \varepsilon^2 \frac{\partial^2 w}{\partial x^2} + \varepsilon^2 \frac{\partial^2 w}{\partial z^2} \right) \\ \frac{\partial u}{\partial x} + \frac{\partial v}{\partial y} + \frac{\partial w}{\partial z} &= 0 \\ y = y_-(z); u = v = w &= 0 \\ y = y_+(z); u = v = w &= 0 \\ \left\langle \int_{y_-(z)}^{y_+(z)} u dy \right\rangle &= 1 \end{aligned}$$

Здесь  $x = x^*/L$ ,  $y = 2y^*/D$ ,  $z = z^*/L$ ,  $t = u_0 t^*/L$  – безразмерные координаты и время,  $u = u^*/u_0$ ,  $v = v^*/(\varepsilon u_0)$ ,  $w = w^*/u_0$ ,  $P = (P^* + \rho g y^*)/(\rho u_0^2)$  – безразмерные компоненты скорости в  $x$ -,  $y$ - и  $z$ -направлениях и давление соответственно. Звездочка означает размерную величину,  $\operatorname{Re} = u_0 D / (2v)$  – число Рейнольдса,  $\varepsilon = D / (2L)$ ,  $L$  – период гофрирования,  $D$  – размер канала,  $u_0 = 2U_{VS}$ , где  $U_{VS}$  – средняя по всему сечению скорость потока. Форма гофрирования нижней и верхней стенки обозначена как  $y_-(z)$  и  $y_+(z)$ , соответственно,  $v$  – кинематическая вязкость,  $\rho$  – плотность жидкости,  $g$  – ускорение силы тяжести,  $\langle \cdot \rangle$  – означает среднее по периоду гофрирования в  $z$ -направлении.

Для дальнейших расчетов делается преобразование координат  $x = x$ ,  $z = z$ ,  $\eta = (y - f_+)/f_-$ , где  $f_+ = (y_+ + y_-)/2$ ,  $f_- \equiv y_+ - f_+ = (y_+ - y_-)/2$ . Область течения в новых переменных становится известной:  $\eta \in [-1, 1]$ . Ниже будем рассматривать два типа каналов: (1) верхняя стенка гладкая  $y_- = -1 + \varepsilon_l f(z)$ ,  $y_+ = 1$  и (2) обе стенки гофрированные  $y_- = -1 + \varepsilon_l f(z)$ ,  $y_+ = 1 - \varepsilon_l f(z)$ . Для обоих случаев  $f(z) = (1 + \cos(2\pi z))/2$  и  $\varepsilon_l = 2A/D$ .



**Рис. 1.** Схема течения Пуазеля между двумя гофрированными поверхностями. Основной поток жидкости направлен вдоль оси  $x$  (перпендикулярно плоскости рисунка), верхняя и нижняя стенки являются периодическими в  $z$ -направлении.

В новых переменных уравнения записываются следующим образом

$$\begin{aligned}
 & \frac{\partial u}{\partial t} + u \frac{\partial u}{\partial x} + w \frac{\partial u}{\partial z} + (w\eta_z + v\eta_y) \frac{\partial u}{\partial \eta} = -\frac{\partial \bar{P}}{\partial x} - Z + \frac{1}{\varepsilon \text{Re}} \times \\
 & \times \left[ \eta_y^2 \frac{\partial^2 y}{\partial \eta^2} + \varepsilon^2 \left( \frac{\partial^2 u}{\partial z^2} + \eta_z^2 \frac{\partial^2 u}{\partial \eta^2} + 2\eta_z \frac{\partial^2 u}{\partial z \partial \eta} + (\eta_{z\xi} + \eta_z \eta_{z\eta}) \frac{\partial u}{\partial \eta} \right) + \varepsilon^2 \frac{\partial^2 u}{\partial x^2} \right] \\
 & \varepsilon^2 \left( \frac{\partial v}{\partial t} + u \frac{\partial v}{\partial x} + w \frac{\partial v}{\partial z} + (w\eta_z + v\eta_y) \frac{\partial v}{\partial \eta} \right) = -\eta_y \frac{\partial \bar{P}}{\partial \eta} + \\
 & + \frac{\varepsilon}{\text{Re}} \left[ \eta_y^2 \frac{\partial^2 v}{\partial \eta^2} + \varepsilon^2 \left( \frac{\partial^2 v}{\partial z^2} + \eta_z^2 \frac{\partial^2 v}{\partial \eta^2} + 2\eta_z \frac{\partial^2 v}{\partial z \partial \eta} + (\eta_{z\xi} + \eta_z \eta_{z\eta}) \frac{\partial v}{\partial \eta} \right) + \varepsilon^2 \frac{\partial^2 v}{\partial x^2} \right] \quad (1.1) \\
 & \frac{\partial w}{\partial t} + u \frac{\partial w}{\partial x} + w \frac{\partial w}{\partial z} + (w\eta_z + v\eta_y) \frac{\partial w}{\partial \eta} = -\frac{\partial \bar{P}}{\partial z} - \eta_z \frac{\partial \bar{P}}{\partial \eta} + \frac{1}{\varepsilon \text{Re}} \times \\
 & \times \left[ \eta_y^2 \frac{\partial^2 w}{\partial \eta^2} + \varepsilon^2 \left( \frac{\partial^2 w}{\partial z^2} + \eta_z^2 \frac{\partial^2 w}{\partial \eta^2} + 2\eta_z \frac{\partial^2 w}{\partial z \partial \eta} + (\eta_{z\xi} + \eta_z \eta_{z\eta}) \frac{\partial w}{\partial \eta} \right) + \varepsilon^2 \frac{\partial^2 w}{\partial x^2} \right] \\
 & v(t, x, z, \eta) = [\eta(f_-)_z + (f_+)_z]w(t, x, z, \eta) - \frac{\partial}{\partial x} \left( f_- \int_{-1}^{\eta} u(t, x, z, \eta') d\eta' \right) - \\
 & - \frac{\partial}{\partial z} \left( f_- \int_{-1}^{\eta} w(t, x, z, \eta') d\eta' \right) \\
 & \eta = -1: u(t, x, z, \eta) = w(t, x, z, \eta) = 0 \\
 & \eta = 1: u(t, x, z, \eta) = w(t, x, z, \eta) = 0 \\
 & \left\langle f_-(z) \int_{-1}^1 u d\eta' \right\rangle = 1
 \end{aligned}$$

Здесь  $P = Zx + \bar{P}$ ,  $\eta_y = 1/f_-$ ,  $\eta_z = -[\eta(f_-)_z + (f_+)_z]/f_-$ ,  $\eta_{z\eta} = -(f_-)_z/f_-$ ,  $\eta_{z\xi} = -(\eta_z(f_-)_z + \eta(f_-)_{zz} + (f_+)_zz)/f_-$ .

В задаче имеются три параметра —  $\varepsilon$ ,  $\varepsilon_1$ ,  $\text{Re}$ , и безразмерная функция  $f(z)$  для описания формы гофрирования. Далее, используя полиномы Чебышева и ряд Фурье, мы рассчитываем стационарные решения уравнений (1.1). Для нашего случая  $[u(x, z, \eta), v(x, z, \eta), w(x, z, \eta), \bar{P}(x, z, \eta), Z] = [u_b(z, \eta), 0, 0, 0, Z]$

$$u_b(z, \eta) = \frac{1}{2} U_1(z) + \sum_{m=2}^M U_m(z) T_{m-1}(\eta),$$

$$U_m(z) = U_m^0 + \sum_{\substack{k=-N/2+1 \\ k \neq 0}}^{N/2-1} U_m^k \exp(2\pi i kz), \quad (U_m^{-k})^* = U_m^k, \quad m = 1, \dots, M.$$

Здесь  $T_m(\eta)$  – полиномы Чебышева и “знак звездочки” означает комплексное сопряжение. Общее число неизвестных в уравнениях (1.1) для нашего случая составляет  $M(N - 1)$  гармоник поля скорости  $u_b(z, \eta)$  и градиент давления  $Z$ . Численный алгоритм стартует с задания начального приближения  $U_m^k, Z$ . Далее, для уточнения начального приближения, используется итерационный метод Ньютона.

Подставляя

$$u = u_b(z, \eta) + \hat{u}(x, z, \eta) \exp(-\gamma t) + C.C., \quad v = \hat{v}(x, z, \eta) \exp(-\gamma t) + C.C.,$$

$$w = \hat{w}(x, z, \eta) \exp(-\gamma t) + C.C., \quad P = \hat{P}(x, z, \eta) \exp(-\gamma t) + C.C.$$

(C.C. – комплексно-сопряженная величина) в уравнения (1.1) и линеаризуя их около основного решения  $[u_b(z, \eta), 0, 0, 0, Z]$ , получаем систему уравнений для нахождения спектра собственных значений и решения задачи линейной устойчивости стационарного решения

$$\begin{aligned} \hat{v}(x, z, \eta) &= [\eta(f_-)_z + (f_+) \hat{w}(x, z, \eta) - \frac{\partial}{\partial x} \left( f_- \int_{-1}^{\eta} \hat{u}(x, z, \eta') d\eta' \right) - \frac{\partial}{\partial z} \left( f_- \int_{-1}^{\eta} \hat{w}(x, z, \eta') d\eta' \right)] \\ \eta_y(\hat{P} - \hat{P}_0) &= \int_{-1}^{\eta} \left\{ \gamma \epsilon^2 \hat{v} + \frac{\epsilon}{\operatorname{Re}} \left[ \eta_y^2 \frac{\partial^2 \hat{v}}{\partial \eta'^2} + \epsilon^2 \frac{\partial^2 \hat{v}}{\partial x^2} + \epsilon^2 \frac{\partial^2 \hat{v}}{\partial z^2} + \epsilon^2 \left( \eta_z^2 \frac{\partial^2 \hat{v}}{\partial \eta'^2} + 2\eta_z \frac{\partial^2 \hat{v}}{\partial z \partial \eta'^2} + \right. \right. \right. \\ &\quad \left. \left. \left. + (\eta_{z\xi} + \eta_z \eta_{z\eta'}) \frac{\partial \hat{v}}{\partial \eta'} \right) \right] - \epsilon^2 u_b \frac{\partial \hat{v}}{\partial x} \right\} d\eta' - \\ -\gamma \hat{u} &= -\frac{\partial(\hat{P} - \hat{P}_0)}{\partial x} - \frac{\partial \hat{P}_0}{\partial x} + \frac{1}{\epsilon \operatorname{Re}} \left[ \eta_y^2 \frac{\partial^2 \hat{u}}{\partial \eta'^2} + \epsilon^2 \frac{\partial^2 \hat{u}}{\partial x^2} + \epsilon^2 \frac{\partial^2 \hat{u}}{\partial z^2} + \epsilon^2 \left( \eta_z^2 \frac{\partial^2 \hat{u}}{\partial \eta'^2} + 2\eta_z \frac{\partial^2 \hat{u}}{\partial z \partial \eta'^2} + \right. \right. \\ &\quad \left. \left. + (\eta_{z\xi} + \eta_z \eta_{z\eta'}) \frac{\partial \hat{u}}{\partial \eta'} \right) \right] - \left( u_b \frac{\partial \hat{u}}{\partial x} + \hat{w} \frac{\partial u_b}{\partial z} + (\hat{w}\eta_z + \hat{v}\eta_y) \frac{\partial u_b}{\partial \eta} \right) - \\ -\gamma \hat{w} &= -\frac{\partial(\hat{P} - \hat{P}_0)}{\partial z} - \frac{\partial \hat{P}_0}{\partial z} - \eta_z \frac{\partial(\hat{P} - \hat{P}_0)}{\partial \eta} + \\ + \frac{1}{\epsilon \operatorname{Re}} \left[ \eta_y^2 \frac{\partial^2 \hat{w}}{\partial \eta'^2} + \epsilon^2 \frac{\partial^2 \hat{w}}{\partial x^2} + \epsilon^2 \frac{\partial^2 \hat{w}}{\partial z^2} + \epsilon^2 \left( \eta_z^2 \frac{\partial^2 \hat{w}}{\partial \eta'^2} + 2\eta_z \frac{\partial^2 \hat{w}}{\partial z \partial \eta'} + (\eta_{z\xi} + \eta_z \eta_{z\eta'}) \frac{\partial \hat{w}}{\partial \eta} \right) \right] - u_b \frac{\partial \hat{w}}{\partial x} \\ \eta = -1: \hat{u}(x, z, \eta) &= \hat{w}(x, z, \eta) = 0 \\ \eta = 1: \hat{u}(x, z, \eta) &= \hat{w}(x, z, \eta) = 0 \\ \frac{\partial}{\partial x} \left( f_- \int_{-1}^1 \hat{u} d\eta' \right) + \frac{\partial}{\partial z} \left( f_- \int_{-1}^1 \hat{w} d\eta' \right) &= 0 \end{aligned} \tag{1.2}$$

В соответствии с теоремой Флоке, решения линейной системы уравнений с периодическими коэффициентами могут быть представлены в следующем виде

$$\begin{bmatrix} \hat{u} \\ \hat{w} \\ \hat{P}_0 \end{bmatrix} = \begin{bmatrix} \frac{1}{2} \sum_{k=-N/2+1}^{N/2-1} \hat{U}_1^k \exp(2\pi i k z) + \sum_{m=2}^M T_{m-1}(\eta) \sum_{k=-N/2+1}^{N/2-1} \hat{U}_m^k \exp(2\pi i k z) \\ \frac{1}{2} \sum_{k=-N/2+1}^{N/2-1} \hat{W}_1^k \exp(2\pi i k z) + \sum_{m=2}^M T_{m-1}(\eta) \sum_{k=-N/2+1}^{N/2-1} \hat{W}_m^k \exp(2\pi i k z) \\ \sum_{k=-N/2+1}^{N/2-1} \hat{P}_0^k \exp(2\pi i k z) \end{bmatrix} \exp(2\pi i (Qx + Q_z z)) \quad (1.3)$$

Здесь  $Q$  и  $Q_z$  являются вещественными параметрами,  $Q_z \in [0, 0.5]$ . В результате задача сводится к обобщенной задаче на собственные значения для комплексных матриц общего вида

$$A\hat{x} = \gamma B\hat{x}, \quad \hat{x} = (\hat{U}_m^k, \hat{W}_m^k, \hat{P}_0^k)^T \quad (1.4)$$

Матрицы  $A$  и  $B$  имеют размерность  $(2M+1)(N-1)$  в случае  $|Q| + |Q_z| \neq 0$  и  $(2M+1)(N-1)-1$  в противном случае. Элементы этих матриц определяются численно, путем перебора единичных векторов возмущений и их подстановки в уравнения (1.2). В общем случае возмущения (1.3) имеют две несоизмеримых длины волны в поперечном к потоку  $z$ -направлении —  $\lambda_1^* = L$ ,  $\lambda_2^* = L/Q_z$  и одну длину волны  $L/Q$  в  $x$ -направлении. Для получения ответа на вопрос об устойчивости стационарного решения  $[u_b(z, \eta), 0, 0, 0, Z]$  необходимо проанализировать  $(2M+1)(N-1)$  собственных чисел задачи (1.4), варьируя волновые числа возмущений  $\alpha = 2\pi Q \epsilon$  и  $\alpha_z = 2\pi Q_z \epsilon$ . Решение устойчиво, если вещественные части всех собственных значений больше или равны нулю при всех положительных значениях волновых чисел. Возмущение является нейтральным, если вещественная часть соответствующего ему собственного значения равна нулю —  $\text{Re}(\gamma) = 0$ .

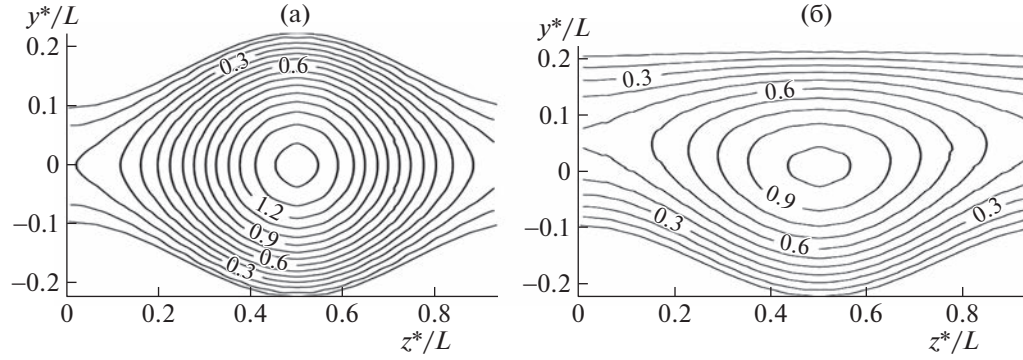
Отметим, что возмущения с  $|Q| + |Q_z| = 0$  являются выделенными. Такие возмущения являются периодическими в  $z$ -направлении, и их длина волны совпадает с длиной волны основного решения и периодом гофрирования стенки. Неустойчивость решения к таким возмущениям означает невозможность его реализации на практике. Решения неустойчивые к возмущениям с конечными значениями параметров  $Q$  и  $Q_z$  могут быть реализованы на конечных расстояниях от входа.

Рассматриваемые возмущения являются трехмерными и даже в случае  $|Q| + |Q_z| = 0$  имеют три компоненты скорости. В случае гладких стенок, согласно теореме Сквайера [13], двумерные возмущения наиболее опасны на линейной стадии и начинают нарастать при меньших значениях чисел Рейнольдса по сравнению с трехмерными возмущениями. Для случая гофрированных стенок данная теорема не применима.

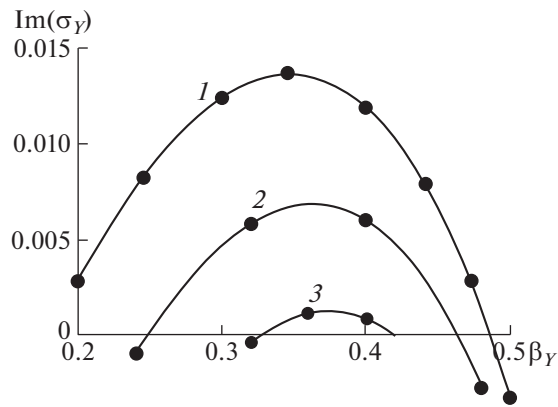
Для тестирования алгоритма решения задачи (1.4), нами были воспроизведены результаты работы [21], в которой рассматривалась устойчивость течения Пузейля канале с двумя гофрированными стенками (рис. 2а). В этой работе использовалась другая система безразмерных величин и в подписи рис. 3 они приведены с нижним индексом “ $Y$ ”. Число Рейнольдса в [21] построено по “перепаду давления” (заранее неизвестная величина  $Z$  в уравнениях (1.1)). Для точного сравнения результатов потребовались несколько итераций по определению  $\text{Re}$  (см. подпись к рис. 3). Для трех значений числа Рейнольдса рассчитаны инкременты роста трехмерных возмущений с различными значениями  $Q$  (при этом  $Q_z = 0$ ). Параметры гофрирования приведены в подписи к рис. 3. Сопоставление с результатами работы [21] демонстрирует полное согласие. Далее в расчетах мы ограничиваемся анализом течения в канале с одной гофрированной стенкой (см. рис. 2б) в широком диапазоне изменений числа Рейнольдса и параметров гофрирования.

## 2. РЕЗУЛЬТАТЫ РАСЧЕТОВ

На первом этапе была исследована устойчивость стационарного решения по отношению к возмущениям с  $Q = Q_z = 0$ . В задаче имеются три параметра —  $24/D$ ,  $D/2L$  и число Рейнольдса. Диапазон исследований по параметру  $24/D$  составлял от 0.001 до 0.5 с шагом 0.05. Для каждого значения амплитуды гофрирования шаг расчетов устойчивости по параметру  $D/2L$  составлял от 0.05 до 1.5 с шагом 0.05. Диапазон исследования по числу Рейнольдса был от 100 до 10000 с шагом 200. На втором этапе рассчитывалась устойчивость по отношению к возмущениям с конечными значениями параметра Флоке  $Q_z \in [0, 0.5]$  ( $Q = 0$ ), и шаг по этому параметру составлял 0.01.



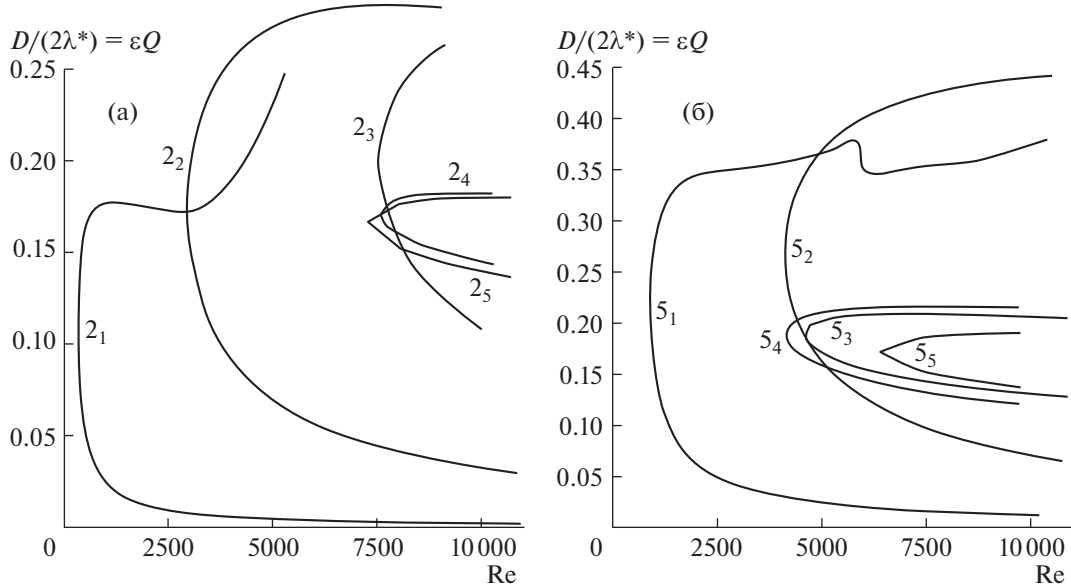
**Рис. 2.** Линии равного уровня для скорости основного течения  $u(z^*, y^*)$  в канале с двумя гофрированными стенками (а) и с одной гофрированной стенкой (б). Здесь  $\varepsilon_1 = 2A/D = 0.571$ ,  $\varepsilon = D/(2L) = 0.223$  (см. подпись к рис. 3). Поле скорости представлено на одном периоде гофрирования в  $z$ -направлении и не зависит от  $x$ -координаты.



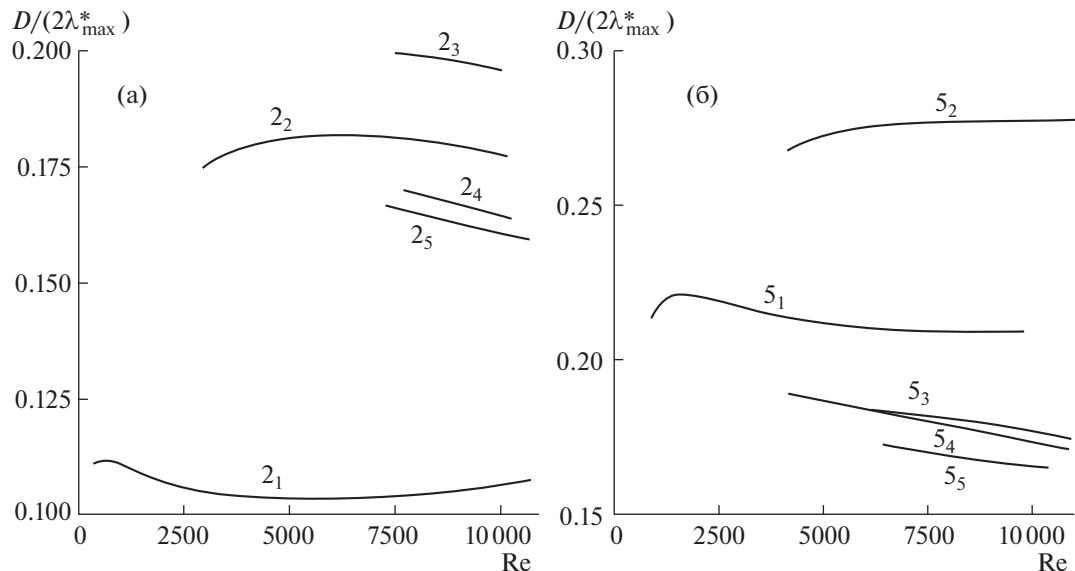
**Рис. 3.** Устойчивость течения в канале с двумя гофрированными стенками (см. рис. 2,  $Q_z = 0$ ). Зависимость фактора роста  $i\sigma_Y \text{Re}_Y = \gamma\varepsilon(1 - \varepsilon_1/2)^2 \text{Re}$  от значений волнового числа  $\beta_Y = 2\pi Q\varepsilon(1 - \varepsilon_1/2)$ . Символы (сплошные кружки) соответствуют расчетам работы [21]  $S_Y = A/(D - A) = 0.4$ ,  $\alpha_Y = 2\pi(D - A)/(2L) = 1$ : 1–3 –  $\text{Re}_Y = 90, 70, 60$ . Сплошные линии соответствуют настоящим расчетам с параметрами  $\varepsilon_1 = 2S_Y/(1 + S_Y) = 0.571$ ,  $\varepsilon = 0.5\alpha_Y(1 + S_Y)/\pi = 0.223$ ,  $Z \text{Re}^2 = -2 \text{Re}_Y / (\varepsilon(1 - \varepsilon_1/2)^3)$ .

Найдено, что в исследованном диапазоне параметров стационарное течение Пуазейля в канале с гофрированной нижней стенкой (рис. 2б) устойчиво по отношению к возмущениям как с  $Q_z = 0$  ( $Q = 0$ ), так и с конечными значениями  $Q_z$  ( $Q = 0$ ).

Дальнейшие исследования были посвящены устойчивости относительно продольных возмущений (1.3) с различными значениями параметра  $Q$  ( $Q_z = 0$ ). Результаты представлены на рис. 4–6. Найдено, что в исследованном диапазоне параметров ( $\varepsilon_1, \varepsilon, \text{Re}, Q$ ), в спектре собственных значений задачи (1.4) присутствует только одна мода с отрицательным значением  $\text{Re} \text{al}(\gamma)$ , либо ни одной. Примеры рассчитанных нейтральных кривых представлены на рис. 4. На линиях  $2_1-2_5$ ,  $5_1-5_5$  рис. 4 величина  $\text{Real}(\gamma) = 0$  и они ограничивают области волновых чисел  $\varepsilon Q = D/(2\lambda^*)$ ,  $\lambda^*$  – раз мерная длина волны возмущения, для которых существуют нарастающие во времени возмущения. Найдено, что в области неустойчивости зависимость инкремента  $\text{Real}(\gamma)$  от волнового числа имеет экстремум. Существуют наиболее быстро растущие возмущения, и они являются наиболее “опасными”. Рисунок 5, для тех же значений параметров гофрирования, что и на рис. 4, демонстрирует рассчитанные волновые числа наиболее “опасных” возмущений. Здесь решалось уравнение  $\partial \text{Re} \text{al}(\gamma)/\partial Q = 0$  при различных числах Рейнольдса.

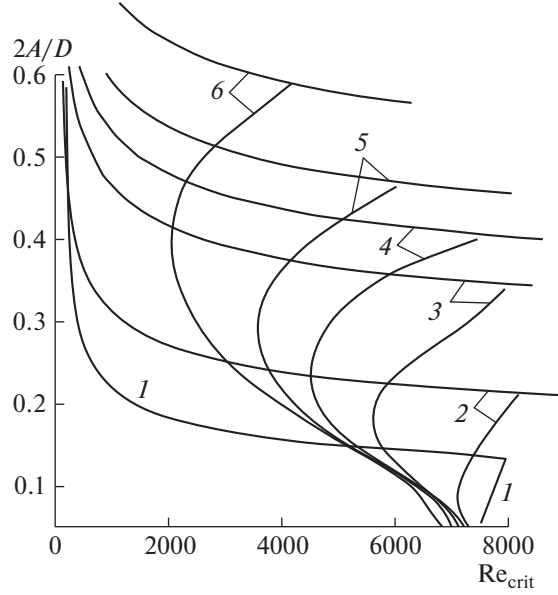


**Рис. 4.** Устойчивость течения в канале с одной гофрированной стенкой ( $Q_z=0$ ). Зависимости волнового числа нейтральных возмущений от числа Рейнольдса: (а) расчет при  $A/L = 0.1$  ( $2_1 - 2A/D = 0.4$ ,  $2_2 - 0.25$ ,  $2_3 - 0.21$ ,  $2_4 - 0.15$ ,  $2_5 - 0.05$ ); (б) расчет при  $A/L = 0.3$  ( $5_1 - 2A/D = 0.6$ ,  $5_2 - 0.5$ ,  $5_3 - 0.4$ ,  $5_4 - 0.2$ ,  $5_5 - 0.1$ ). На линиях  $2_1-2_5$   $\text{Real}(\gamma) = 0$  и они ограничивают области волновых чисел, с которыми существуют нарастающие во времени возмущения. Минимальное значение числа Рейнольдса  $Re_{\text{crit}}$ , при котором существуют нарастающие возмущения, соответствует “носику” линий  $2_1-2_5$ ,  $5_1-5_5$  (см. линии 2 и 5 рис. 6).



**Рис. 5.** Устойчивость течения в канале с одной гофрированной стенкой ( $Q_z = 0$ ). Зависимость волнового числа линейных возмущений максимального роста от числа Рейнольдса: (а) расчет при  $A/L = 0.1$  ( $2_1 - 2A/D = 0.4$ ,  $2_2 - 0.25$ ,  $2_3 - 0.21$ ,  $2_4 - 0.15$ ,  $2_5 - 0.05$ ); (б) расчет при  $A/L = 0.3$  ( $5_1 - 2A/D = 0.6$ ,  $5_2 - 0.5$ ,  $5_3 - 0.4$ ,  $5_4 - 0.2$ ,  $5_5 - 0.1$ ). На линиях  $2_1-2_5$ ,  $5_1-5_5$  выполняется равенство  $\partial \text{Re al}(\gamma) / \partial Q = 0$ .

Минимальное значение числа Рейнольдса  $Re_{\text{crit}}$ , при котором существуют нарастающие возмущения, соответствует “носику” линий  $2_1-2_5$ ,  $5_1-5_5$  рис. 4. На “носике” этих линий как  $\text{Real}(\gamma) = 0$ , так и  $\partial \text{Real}(\gamma) / \partial Q = 0$ . Используя эти уравнения для расчета заранее неизвестных  $Re_{\text{crit}}$



**Рис. 6.** Устойчивость течения в канале с одной гофрированной стенкой ( $Q_z = 0$ ). Для различных значений параметра гофрирования  $2A/D$ , линии 1–6 определяют минимальное значение числа Рейнольдса  $Re_{crit}$ , при котором появляются нарастающие возмущения (см. рис. 4): 1–6 –  $A/L = 0.05, 0.1, 0.2, 0.25, 0.3, 0.4$ .

и  $Q_{crit}$  (значение волнового числа на “носике”), были рассчитаны линии 1–6 на рис. 6. Поясним, что значения  $Re_{crit}$  для параметров гофрирования  $\epsilon_1, A/L = 0.05, 0.1, 0.2, 0.25, 0.3$  и  $0.4$  определяются пересечением прямой  $2A/D = \text{const} = \epsilon_1$  с линиями 1–6 рис. 6 соответственно. Отметим, что  $\epsilon\epsilon_1 = A/L$ . Для указанных значений параметра  $A/L$  соответствующие линии на рис. 6 ограничивают область параметров  $(2A/D, Re)$ , где основное течение устойчиво относительно всех рассмотренных возмущений с конечными значениями  $Q$ .

Найдено, что для каждого значения  $A/L$  (см. рис. 6) существует величина параметра  $(\epsilon_1)^*$ , когда зависимость  $Re_{crit}(\epsilon_1)$  качественно меняется и происходит “стыковка” двух различных ветвей. На рис. 4(а) и 4(б) эта “стыковка” происходит при переходе от линии  $2_3$  к линии  $2_4$  и от  $5_2$  к  $5_3$  соответственно ( $Re_{crit}$  на рис. 6 соответствует носику линии на рис. 4). При значениях  $\epsilon_1 < (\epsilon_1)^*$ , на рис. 4 появляется вторая область неустойчивых возмущений, которая на этом рисунке не показана. “Носик” этой второй области неустойчивости лежит на продолжении линий рис. 6  $Re_{crit}(\epsilon_1), \epsilon_1 < (\epsilon_1)^*$  после “стыковки”. В данной работе, при одинаковых величинах  $\epsilon$  и  $\epsilon_1$ , нас интересует ветвь с меньшими значениями числа Рейнольдса на носике кривой нейтральной устойчивости. Для аналогичной нашей работе конфигурации стенок канала, ограничиваясь малыми значениями амплитуды гофрирования  $2A/D < 0.1$ , две области неустойчивых возмущений были впервые найдены в работе [27]. Для таких малых значений  $\epsilon_1$  в работе [28] показано, что гофрирование дестабилизирует стационарное течение для  $2\pi\epsilon < 4.22$  и стабилизирует для  $2\pi\epsilon > 4.22$ . На рис. 6, при значении  $2A/D = 0.05$ , величина  $2\pi\epsilon$  меняется примерно от шести до пятидесяти при изменении  $A/L$  от 0.05 до 0.4. Критическое число Рейнольдса увеличивается с уменьшением  $A/L$ , и гофрирование дестабилизирует течение при  $2A/D = 0.05$  (см. рис. 6). Критическое число Рейнольдса при  $A/L = 0.05$  близко к значению  $Re_{crit}^P \approx 7500$  для гладкой стенки (см. рис. 6) и соответствующее значение  $2\pi\epsilon$  близко к вычисленному в [28]. В данной работе показано, что увеличение параметра  $\epsilon_1$  качественно меняет характер зависимости критического числа Рейнольдса от параметров гофрирования.

Таким образом, мы исследовали устойчивость стационарного решения относительно трехмерных возмущений трех типов: (1)  $Q = Q_z = 0$ , (2)  $Q = 0, Q_z > 0$ , и (3)  $Q > 0, Q_z = 0$ . В этой статье, ввиду ограничений по объему, не исследуется устойчивость к возмущениям с  $Q > 0$  и  $Q_z > 0$ . Опираясь на результаты по устойчивости к возмущениям типа (2), предполагается, что возмущения

с  $Q > 0$  и  $Q_z > 0$  являются менее опасными в сравнении с рассмотренными возмущениями 3-го типа и их анализ не изменит существенным образом результатов и выводов данной работы.

## ЗАКЛЮЧЕНИЕ

Используя полные уравнения Навье–Стокса, рассмотрена линейная устойчивость плоского течения Пуазеля в канале с гофрированной нижней стенкой. Стенка гофрирована поперек потока, и основное течение имеет одну компоненту скорости. Возмущения полей скорости и давления являются трехмерными с двумя волновыми числами. Проанализированы нейтральные кривые и наиболее опасные линейные возмущения в широком диапазоне изменений параметров гофрирования и числа Рейнольдса. В зависимости от параметров гофрирования рассчитано критическое число Рейнольдса, выше которого основное течение неустойчиво, и существуют нарастающие во времени возмущения.

В канале с гладкими стенками течение Пуазеля неустойчиво, начиная с числа Рейнольдса  $Re_{crit}^P \approx 7500$ . Для течения в канале со стенкой, гофрированной поперек потока, найдено, что критическое число Рейнольдса сложным образом зависит от амплитуды и периода гофрирования. Для каждого из рассмотренных в статье значений  $A/L \in [0.05–0.4]$  существует величина  $(2A/D)^*$ , зависящая только от  $A/L$  и разделяющая весь рассмотренный в статье диапазон значений  $2A/D \in [0.05–0.7]$  на две области – (1)  $2A/D < (2A/D)^*$  и (2)  $2A/D > (2A/D)^*$ . В первой области зависимость  $Re_{crit}(A/L, 2A/D)$  является немонотонной. Во второй области величина  $Re_{crit}(A/L, 2A/D)$  монотонно уменьшается с ростом амплитуды гофрирования вплоть до малых значений  $Re_{crit} \approx 100–200$ . Значения  $(2A/D)^*$  рассчитаны для семи значений параметра  $A/L = 0.05, 0.1, 0.2, 0.25, 0.3$  и  $0.4$  и возрастают с ростом  $A/L$ .

Автор выражает признательность А.З. Квон и И.В. Бондаренко за обсуждение и выполнение части работы по оформлению рукописи и проведению расчетов.

Исследование выполнено за счет гранта Российского научного фонда № 23-29-00507, <https://rscf.ru/project/23-29-00507/>.

## СПИСОК ЛИТЕРАТУРЫ

1. Boiko A.V., Dovgal A.V., Grek G.R., Kozlov V.V. Physics of transitional shear flows. Berlin: Springer, 2011. 271 p.
2. Goldstein D.B., Tuan T-C. Secondary flow induced by ripples // J. Fluid Mech. 1998. V. 363. P. 115–151.
3. Sobey I.J. On flow through furrowed channels. Part I. Calculated flow patterns // J. Fluid Mech. 1980. V. 96. P. 1–26.
4. Stepanoff K.D., Sobey I.J., Bellhouse B.J. On flow through furrowed channels. Part II. Observed flow patterns // J. Fluid Mech. 1980. V. 96. № 01. P. 27–32.
5. Sparrow E.M., Hossfeld L.M. Effect of rounding of protruding edges on heat transfer and pressure drop in a duct // Int. J. Heat Mass Transfer. 1984. V. 27. P. 1715–1723.
6. Beebe David J., Mensing Glennys A., Walker Glenn M. Physics and applications of microfluidics in biology // Annu. Rev. Biomed. Eng. 2002. V. 4. № 1. P. 261–286.
7. Бойко А.В., Клюшнев Н.В., Нечепуренко Ю.М. Устойчивость течения жидкости над оребренной поверхностью. М.: ИПМ им. М.В. Келдыша, 2016. 123 с.
8. Григорьев О.А., Клюшнев Н.В. Устойчивость течения Пуазеля в канале с гребенчатым оребрением // Журнал вычислительной математики и математической физики. 2018. Т. 58. № 4. С. 595–606.
9. Kistler S.F., Schweizer P.M. Liquid Film Coating (Chapman and Hall, New York, 1997).
10. Weinstein S.J., Ruschak K.J. Coating flows // Annu. Rev. Fluid Mech. 2004. V.36. P. 29–53.
11. DeSantos J.M., Melli T.R., Scriven L.E. Mechanics of gas-liquid flow in packed-bed contactors // Annu. Rev. Fluid Mech. 1991. V. 23. P. 233–260.
12. Trifonov Y.Y. Modeling of mixture separation in column with structured packing // Multiph. Sci. Technol. 2022. V. 34. № 1. P. 23–51.
13. Kachanov Y.S. Physical mechanisms of laminar-boundary-layer transition // Annu. Rev. Fluid Mech. 1994. V. 26. P. 411–482.
14. Nishimura T., Ohori Y., Kawamura Y. Flow characteristics in a channel with symmetric wavy wall for steady flow // J. Chem. Eng. Jpn. 1984. V. 17. № 5. P. 466–471.
15. Nishimura T., Ohori Y., Kajimoto Y., Kawamura Y. Mass transfer characteristics in a channel with symmetric wavy wall for steady flow // J. Chem. Eng. Jpn. 1985. V. 18. № 6. P. 550–555.

16. *Nishimura T., Kajimoto and Kawamura Y.* Mass transfer enhancement in channels with a wavy wall // *J. Chem. Eng. Japan.* 1986. V. 19. P. 142–144.
17. *Guzman A.M., Amon C.H.* Transition to chaos in converging-diverging channel flows: Ruelle-Takens-Newhouse scenario // *Phys. Fluids.* 1994. V. 6. № 6. P. 1994–2002.
18. *Guzman A.M., Amon C.H.* Dynamical flow characterization of transitional and chaotic regimes in converging-diverging channels // *J. Fluid Mech.* 1996. V. 321. P. 25–57.
19. *Amon C.H., Guzman A.M., Morel B.* Lagrangian chaos, Eulerian chaos, and mixing enhancement in converging-diverging channel flows // *Phys. Fluids.* 1996. V. 8. № 5. P. 1192–1206.
20. *Szumbarski J.* Instability of viscous incompressible flow in a channel with transversely corrugated walls // *J. Theor. App. Mech-Pol.* 2007. V.45. № 3. P. 659–683.
21. *Yadav Nikesh, Gepner S.W., Szumbarski J.* Instability in a channel with grooves parallel to the flow // *Phys. Fluids.* 2017. V. 29. № 10. 084104.
22. *Cho K.J., Kim M.-U., Shin H.D.* Linear stability of two-dimensional steady flow in wavy-walled channels // *Fluid Dyn. Res.* 1998. V. 23. № 6. P. 349–370.
23. *Cabal A., Szumbarski J., Floryan J.M.* Stability of flow in a wavy channel // *J. Fluid Mech.* 2002. V. 457. P. 191–212.
24. *Floryan J.M., Floryan C.* Traveling wave instability in a diverging converging channel // *Fluid Dyn. Res.* 2010. V. 42. № 2. 025509.
25. *Trifonov Y.Y.* Stability of a film flowing down an inclined corrugated plate: The direct Navier-Stokes computations and Floquet theory // *Phys. Fluids.* 2014. V. 26. 114101.
26. *Schörner M., Reck D., Aksel N., Trifonov Y.* Switching between different types of stability isles in films over topographies // *Acta Mech.* 2018. V. 229. P. 423–436.
27. *Mohammadi A., Moradi H.V., Floryan J.M.* New instability mode in a grooved channel // *J. Fluid Mech.* 2015. V. 778. P. 691–720.
28. *Moradi H.V., Floryan J.M.* Stability of flow in a channel with longitudinal grooves // *J. Fluid Mech.* 2014. V. 757. P. 613–648.